

## شبیه‌سازی سیستم‌های فتوولتاییک / حرارتی در حالت جابجایی آزاد

امین شهرسوار<sup>۱\*</sup>، مهران عامری<sup>۲</sup>

چکیده:

تاریخ دریافت مقاله:

۸۸/۶/۴

تاریخ پذیرش مقاله:

۸۸/۸/۲

در این مقاله شبیه‌سازی سیستم‌های فتوولتایی/حرارتی در حالت جابجایی آزاد برای  
حالات‌های با سریوش شبیه‌ای و بدون آن ارائه شده و نتایج حاصل با مقادیر آزمایشگاهی  
مقایسه شده است. نتایج نشان می‌دهد که شبیه‌سازی و مقادیر آزمایشگاهی هم‌خوانی بسیار  
خوبی دارد. اثرات قرار دادن سریوش شبیه‌ای بر روی پارامترهای مختلف سیستم نیز  
بررسی شده است. نتایج نشان می‌دهد که قرار دادن سریوش شبیه‌ای در سیستم‌های  
فتوولتایی/حرارتی (PV/T) منجر به افزایش راندمان حرارتی و کاهش راندمان الکتریکی  
این سیستم‌ها می‌شود.

کلمات کلیدی:

جابجایی آزاد، شبیه‌سازی،  
فتوولتایی، فتوولتاییک / حرارتی

**مقدمه**

امروزه بر اثر افزایش بهای سوخت‌های فسیلی و محدودیت منابع و از طرف دیگر مشکلات زیست محیطی و تعییرات اقلیمی استفاده از انرژی‌های تجدیدپذیر مورد توجه بیشتری قرار گرفته است. یکی از منابع قابل دسترس و فراوان، انرژی خورشیدی است. از جمله کاربردهای انرژی خورشیدی تبدیل مستقیم پرتوهای خورشید به الکتریسیته بوسیله پانل‌های فتوولتایی است. سیستم‌های فتوولتایی توانایی تبدیل انرژی خورشیدی به الکتریسیته را با راندمانی در حدود ۵٪<sup>۱</sup> درصد داراست. یعنی پانل فتوولتایی بخش کمی از تشعشع جذب شده را به انرژی الکتریکی تبدیل می‌کند و بقیه آن به صورت حرارت تلف می‌شود. در عین حال افزایش دمای پانل موجب کاهش راندمان الکتریکی آن می‌شود. با دفع حرارت از پانل‌ها می‌توان این اثر نامطلوب را کاهش داد، به این صورت که با جاری ساختن یک سیال بر روی پانل‌های فتوولتایی، به واسطه انتقال حرارت جایجایی، می‌توان بخش زیادی از این حرارت را از پانل جذب کرده و دمای سطح پانل فتوولتایی را کاهش و در نتیجه راندمان الکتریکی را افزایش داد. دمای سیال عبوری از روی پانل در اثر جذب حرارت افزایش می‌یابد و در نتیجه می‌توان از آن جهت مصارف مختلف از جمله خشک کن خورشیدی و تهویه مطبوع استفاده کرد. تمامی این فرآیندها را می‌توان در یک مجموعه جای داد که این مجموعه را سیستم فتوولتایی/حرارتی خورشیدی می‌نامند. در این فن‌آوری، خنک‌کاری پانل فتوولتایی و افزایش راندمان با یکدیگر مقارن شده است. استفاده از آب و هوا برای خنک‌کاری پانل‌های فتوولتایی رایج است. سیستم‌های فتوولتایی/حرارتی مورد توجه بسیاری قرار گرفته و در نتیجه توسط محققین بسیاری هم از لحاظ نظری و آزمایشگاهی مفهوم اصلی سیستم‌های فتوولتاییک/حرارتی را که توسط دو سیال عامل آب و هوا عمل می‌کرد، ارائه نمودند [۶]. پرakash با تحقیق بر روی سیستم‌های فتوولتاییک/حرارتی با سیال عامل هوا و آب به این نتیجه رسید که راندمان این سیستم‌ها با سیال عامل آب بیشتر از هوا است، زیرا که خواص ترموفیزیکی آب از هوا بیشتر است. ولی استفاده از هوا به دلیل هزینه‌های ساختاری کمتر رایج‌تر است [۳]. سوییان و همکارانش با انجام آنالیز حرارتی بر روی سیستم‌های فتوولتایی/حرارتی هوازی از نوع تک کانالی و دو کانالی نشان دادند که سیستم با آرایش دو کانالی مشخصه‌های بهتری نسبت به نوع تک کانالی دارد [۸]. بازیلیان و پراساد یک مدل عددی برای سیستم‌های فتوولتایی/حرارتی در حالت جایجایی آزاد ارائه کردند [۱]. تونی و تریپانانگوستوپولوس، اصلاحاتی بر روی سیستم‌های فتوولتایی/حرارتی انجام دادند و آن را به دو صورت انتقال حرارت اجباری و آزاد مورد بررسی قرار دادند [۷]. در سال ۲۰۰۷، جوشی و تیواری، راندمان سیستم‌های فتوولتاییک/حرارتی را به دو صورت انرژی و اگزرژی مورد بررسی قرار دادند. آنان راندمان انرژی را حدود ۵۵٪<sup>۲</sup> درصد و راندمان اگزرژی را حدود ۱۲٪<sup>۳</sup> درصد بیان کردند [۵].

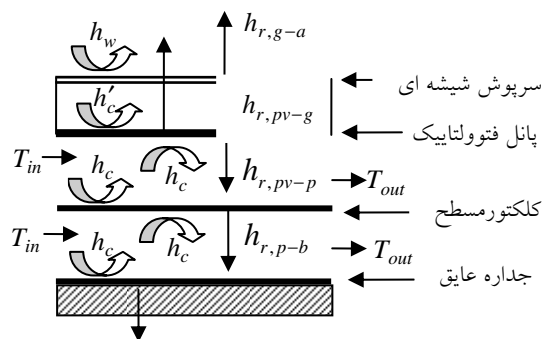
در این مقاله یک سیستم فتوولتایی/حرارتی هوایی دو کanalی در حالت جابجایی آزاد برای حالت‌های با سرپوششیشه‌ای و بدون سرپوششیشه‌ای شبیه‌سازی شده و نتایج حاصل از شبیه‌سازی با مقادیر آزمایشگاهی مقایسه شده است.

### مدل‌سازی

نمونه‌ای از سیستم‌های فتوولتایی/حرارتی مطابق شکل (۱) در دانشکده فنی دانشگاه شهید باهنر کرمان ساخته شده و در محیط آزاد مورد آزمایش قرار گرفته است. ابعاد این سیستم برابر با  $۱۹۶ \times ۵۴ \times ۳۵$  سانتی‌متر است. اجزای مختلف سیستم و کلیه ضرایب انتقال حرارت در مقطع عرضی ارائه شده در شکل (۲) نشان داده شده است. در این مجموعه از دو پانل فتوولتایی نوع سیلیکونی پلی‌کربیتانی که هر کدام توان اسمی برابر با ۴۵ وات را داراست، استفاده شده است. این پانل‌ها بخشی از تشعشع رسیده را جذب می‌کنند که صرف تولید الکتریسیته و بالا رفتن دمای آنها می‌شود. تشعشع عبوری از پانل‌ها توسط کلکتور حرارتی جذب می‌شود. عبور سیال از میان پانل فتوولتایی و کلکتور از بالا رفتن دمای پانل‌ها جلوگیری کرده و باعث افزایش راندمان الکتریکی پانل‌ها می‌شود. دمای هوای عبوری از کanal‌های سیستم بر اثر جذب حرارت پانل فتوولتایی و کلکتور حرارتی، به واسطه انتقال حرارت جابجایی، افزایش می‌یابد. افزایش دمای هوا به افزایش راندمان حرارتی منجر می‌شود. پس با این نحوه طراحی می‌توان انرژی بر واحد سطح بیشتری به دست آورد. نحوه جریان یافتن هوا در داخل کanal‌ها را می‌توان به این صورت شرح داد که هوای محیط اطراف که وارد کanal‌های سیستم شده است، بر اثر دریافت حرارت از پانل فتوولتایی و کلکتور حرارتی دچار افزایش دما و در نتیجه کاهش چگالی می‌شود. بر اثر کاهش چگالی، هوا در داخل کanal‌ها به سمت بالا حرکت کرده و هوای محیط که چگالی بیشتری دارد، جایگزین آن در ابتدای کanal می‌شود. هوای عبوری از کanal بالای سیستم با جذب حرارت پانل فتوولتایی موجب کاهش دما و در نتیجه افزایش راندمان الکتریکی پانل‌ها می‌شود.



شکل ۱ : دستگاه ساخته شده در دانشکده فنی دانشگاه شهید باهنر کرمان

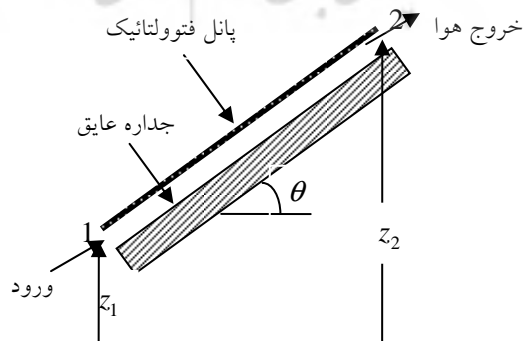


شکل ۲: اجزای مختلف سیستم مورد بررسی و ضرایب انتقال حرارت

## محاسبه ریبی جرمی

برای به دست آوردن رابطه‌ای جهت محاسبه ریبی جرمی برای حالت جابجایی آزاد، با توجه به شکل (۳)، معادله برنولی برای نقاط ۱ و ۲ یعنی به ترتیب ورودی و خروجی هوا به داخل کanal به شکل زیر نوشته می‌شود. در این رابطه  $\rho_1$ ،  $\rho_2$  و  $v$  به ترتیب عبارت است از جگالی هوا و سرعت هوا در حالی  $v_1$ ،  $v_2$  و  $v$  به ترتیب عبارتست از: سرعت هوا ورودی، سرعت هوا خروجی و سرعت متوسط هوا در داخل کanal.  $k_1$  ضریب اتلاف جزئی ناشی از ورود هوا به داخل کanal بوده و برابر با  $1/5$  در نظر گرفته می‌شود در حالی که  $k_2$  ضریب اتلاف جزئی ناشی از خروج هوا از کanal است و برابر با ۱ در نظر گرفته می‌شود.  $k_3$  نیز ضریب اتلاف جزئی ناشی از سایر عوامل بوده و برابر با  $2/2$  در نظر گرفته شده است [۱].

$$p_1 + \frac{\rho_1 v_1^2}{2} + \rho_1 g z_1 - \frac{fL}{D_H} \frac{\rho v^2}{2} - k_1 \frac{\rho_1 v_1^2}{2} - k_3 \frac{\rho v^2}{2} = p_2 + \frac{\rho_2 v_2^2}{2} + \rho_2 g z_2 + k_2 \frac{\rho_2 v_2^2}{2} \quad (1)$$



شکل ۳: مقطع عرضی سیستم فتوولتایی/حرارتی

در رابطه فوق  $D_H$  نشان دهنده قطر هیدرولیکی است و با استفاده از رابطه  $D_H = \frac{4A}{p}$  محاسبه می‌شود. در این رابطه  $A$  سطح مقطع کanal و  $p$  محیط کanal را نشان می‌دهند. همچنین در رابطه فوق  $f$  ضریب اصطکاک بوده و با استفاده از رابطه زیر محاسبه می‌شود [۵]:

$$f = 1.906(Gr / Pr)^{1/12} \quad (2)$$

$$Gr = \frac{L^3 \rho^2 g \beta \Delta T}{\mu} \quad (3)$$

برای ساده‌تر شدن معادله (۱)، تعدادی فرض ساده کننده در نظر گرفته می‌شود که عبارتست از:

- ۱- با توجه به این نکته که نقاط ۱ و ۲ هر دو با هوای محیط در ارتباط است، می‌توان فشار این نقاط را یکسان در نظر گرفت یعنی می‌توان فرض کرد:  $p_1 = p_2$

۲- از سرعت هوا ورودی به داخل کanal می‌توان صرفنظر کرد یعنی می‌توان فرض کرد:  $v_1 = 0$

با در نظر گرفتن فرضیات فوق معادله زیر به دست می‌آید:

$$\rho_1 g z_1 - \rho_2 g z_2 = \frac{\rho_2 v_2^2}{2} + \frac{fL}{D_H} \frac{\rho v^2}{2} + k_3 \frac{\rho v^2}{2} + k_2 \frac{\rho_2 v_2^2}{2} \quad (4)$$

معادله بقای جرم و رابطه میان چگالی هوا و دمای آن به ترتیب عبارتست از:

$$\dot{m} = \rho A_{ch} v = \rho_2 A_2 v_2 \quad (5)$$

$$\rho_T = \rho \beta T \quad (6)$$

در رابطه فوق  $\rho_T$  چگالی هوا در دمای مفروض  $T$  است.  $\beta$  ضریب انبساط حرارتی هوا بوده و به صورت زیر تعریف می‌شود:

$$\beta = \frac{1}{T_f} \quad \text{و} \quad T_f = \frac{T_{in} + T_{out}}{2} \quad (7)$$

با بکارگیری معادلات (۵)، (۶) و (۷) در معادله (۴)، معادله زیر برای محاسبه سرعت هوای عبوری از کanal حاصل می‌شود:

$$v^2 = 2g\beta L \sin \theta (T_{out} - T_{in}) \left[ 2.2 + \frac{fL}{D_H} = 2\beta T_{out} \left( \frac{A_{ch}}{A_2} \right)^2 \right]^{-1} \quad (8)$$

با استفاده از معادلات (۵) و (۸)، معادله زیر برای محاسبه دبی جرمی بدست می‌آید:

$$\dot{m}^2 = 2g\beta L \sin \theta (A_{ch}\rho)^2 (T_{out} - T_{in}) \left[ 2.2 + \frac{fL}{D_H} + 2\beta T_{out} \left( \frac{A_{ch}}{A_2} \right)^2 \right]^{-1} \quad (9)$$

گرمای جذب شده توسط هوای عبوری از کanal با استفاده از رابطه زیر محاسبه می‌شود:

$$Q_u = \dot{m} C_p (T_{out} - T_{in}) = \eta_{th} A_{pv} I_r \quad (10)$$

در این رابطه  $I_r$  شدت تابش برخورداری به پانل‌های فتوولتایی،  $A_{pv}$  مساحت پانل‌ها و  $\eta_{th}$  راندمان حرارتی سیستم را نشان می‌دهد.  $C_p$  نیز گرمای ویژه هوا است که برابر با  $1000 \text{ JKg}^{-1} \text{K}^{-1}$  در نظر گرفته شده است. در صورتی که عبارت  $(T_{out} - T_{in})$  را از معادله (۱۰) بدست آورده و در معادله (۹) قرار دهیم، رابطهنهایی برای محاسبه دبی جرمی هوای داخل کanal به دست می‌آید:

$$\dot{m} = \left( \frac{2g\beta(A_{ch}\rho)^2 A_{pv} \eta_{th} I_r L \sin \theta}{C_p (2.2 + fL/D_H + 2\beta T_{out} (A_{ch}/A_2)^2)} \right)^{\frac{1}{3}} \quad (11)$$

در صورتی که از اختلاف ارتفاع کanal‌های بالا و پایین صرفنظر کنیم، از رابطه (۱۱) برای محاسبه دبی جرمی هر دو کanal می‌توان استفاده کرد.

### معادلات بقای انرژی

برای نوشتن معادلات بقای انرژی اجزای مختلف سیستم، المانی دیفرانسیلی به طول  $dx$  و به عرض  $w$  و به فاصله  $x$  از طول ورودی در نظر می‌گیریم. فرضیات مورد استفاده برای نوشتن معادلات انرژی عبارتست از: انتقال حرارت غیر دائم و یک بعدی، صرفنظر کردن از گرمای ویژه همه اجزا به جز هوای داخل کanal‌ها، یکسان در نظر گرفتن ضریب انتقال حرارت جابجایی میان هوای داخل کanal‌ها با پانل فتوولتایی، کلکتور حرارتی و جداره عایق و در نهایت یکنواخت در نظر گرفتن دمای پانل فتوولتایی، کلکتور حرارتی، شیشه و جداره عایق. با در نظر گرفتن فرضیات فوق اکنون به ارائه روابط بقای انرژی برای اجزای مختلف سیستم می‌پردازیم. گفتنی است که در روابط ارائه شده اندیس‌ها  $g$ ،  $pv$ ،  $p$  و  $b$  به ترتیب نشان‌دهنده شیشه، پانل فتوولتایی، کلکتور حرارتی و جداره عایق است. هوای عبوری از کanal‌های بالا و پایین نیز به ترتیب با اندیس‌های  $f1$  و  $f2$  نشان داده شده است. ضریب انتقال حرارت تشعشعی بین دو سطح ۱ و ۲ با  $h_{r,1-2}$  و ضریب انتقال حرارت جابجایی با  $h_c$  نشان داده شده است.

سرپوش شیشه‌ای

$$\alpha_g I_r wdx = (h_{r,pv-g} + h'_c)(T_g - T_{pv})wdx + (h_{r,g-a} + h_w)(T_g - T_a)wdx \quad (12)$$

پانل فتوولتایی

$$\tau_g \alpha_{pv}(1 - \eta_{el}) I_r wdx = U_T(T_{pv} - T_a)wdx + h_c(T_{pv} - T_{f1})wdx + h_{r,pv-p}(T_{pv} - T_p)wdx \quad (13)$$

سیال کاتال بالا

$$\dot{m}_{f1} C_p dT_{f1} = h_c(T_{pv} - T_{f1})wdx + h_c(T_p - T_{f1})wdx \quad (14)$$

کلکتور حرارتی

$$h_{r,pv-p}(T_{pv} - T_p)wdx = h_c(T_p - T_{f1})wdx + h_c(T_p - T_{f2})wdx + h_{r,p-p}(T_p - T_b)wdx \quad (15)$$

سیال کاتال پایین

$$\dot{m}_{f2} C_p dT_{f2} = h_c(T_p - T_{f2})wdx + h_c(T_b - T_{f2})wdx \quad (16)$$

جداره عایق

$$h_{r,p-b}(T_p - T_b)wdx = U_b(T_b - T_a)wdx + h_c(T_b - T_{f2})wdx \quad (17)$$

برای حالت بدون سرپوش شیشه‌ای علاوه بر حذف شدن معادله (۱۲)، معادله (۱۳) نیز به شکل زیر تغییر می‌کند:

$$\alpha_{pv}(1 - \eta_{el}) I_r wdx = h_w(T_{pv} - T_a)wdx + h_c(T_{pv} - T_{f1})wdx + h_{r,pv-p}(T_{pv} - T_p)wdx \quad (18)$$

روابط مورد استفاده برای محاسبه راندمان حرارتی و راندمان الکتریکی سیستم عبارتست از:

$$\eta_{th} = \frac{\dot{m}_{f1} C_p (T_{out} - T_{in})_{f1}}{I_r A} + \frac{\dot{m}_{f2} C_p (T_{out} - T_{in})_{f2}}{I_r A} \quad (19)$$

$$\eta_{el} = \eta_{ref} (1 - \beta_{ref} (T_{pv} - T_{ref})) \quad (20)$$

$$\eta_{tot} = \eta_{th} + \eta_{el} \quad (21)$$

در رابطه (۲۰)،  $\beta_{ref}$  ضریب دمایی سلول خورشیدی و  $\eta_{ref}$  راندمان الکتریکی پانل در دمای مرجع  $T_{ref}$  است. برای سیستم فتوولتایی/حرارتی مورد بررسی،  $\eta_{ref}$  با استفاده از نتایج آزمایشگاهی برای دمای مرجع ۲۵ سانتیگراد برای حالت‌های با سرپوش شیشه‌ای و بدون آن به ترتیب برابر با ۰/۱۲۷ و ۰/۱۲۲ در نظر گرفته شده است.  $\beta_{ref}$  نیز برای هر دو حالت با سرپوش و بدون سرپوش برابر با  ${}^{\circ}C^{-1} / ۰/۰۶$  در نظر گرفته شده است.

معادلات ارائه شده بیانگر این واقعیت است که معادلات انرژی و معادله (۱۱) وابسته بوده و در نتیجه برای شبیه‌سازی سیستم مورد بررسی باید دستگاه معادلات وابسته حاصل با استفاده از روش‌های عددی حل شود.

#### محاسبه ضرایب انتقال حرارت

##### ضرایب انتقال حرارت جابجایی

ضریب انتقال حرارت جابجایی آزاد میان شیشه و سطح رویی پانل فتوولتایی از رابطه زیر محاسبه می‌شود [۴]:

$$h'_c = \frac{k}{s \left[ 1 + 1.44[1 - R]^* (1 - R(\sin 1.8\theta)^{1.6}) + [0.66416R^{-1/3} - 1]^* \right]} \quad (22)$$

در رابطه فوق  $R = 1708 / Ra_s \cos \theta$  عدد رایلی برای فاصله هوایی میان شیشه و پانل فتوولتایی،  $\theta$  زاویه قرارگیری کلکتور نسبت به افق (برای کرمان  $30^\circ$ ) و  $s$  فاصله هوایی میان شیشه و پانل فتوولتایی است که برای سیستم مورد بررسی برابر با  $25$  میلی‌متر است. منظور از علامت  $*$  در این رابطه این است که اگر ترمومتر مذکور منفی شود باید با صفر جایگزین شود. در ضمن کلیه خواص به کار گرفته شده در این رابطه باید در دمای میانگین فاصله هوایی یعنی  $\frac{(T_{pv} + T_g)}{2}$  محاسبه شود.

ضریب انتقال حرارت جابجایی شیشه با هوای آزاد برای حالت با شیشه و سطح رویی کلکتور با هوای آزاد برای حالت بدون شیشه از رابطه زیر محاسبه می‌شود [۲]:

$$h_w = 2.8 + 3V_w \quad (23)$$

در رابطه فوق  $V_w$  نشان دهنده سرعت باد است. برای محاسبه ضریب انتقال حرارت جابجایی آزاد میان هوای داخل کانال‌های بالا و پایین سیستم با پانل فتوولتایی، کلکتور حرارتی و جداره عایق از روابط زیر استفاده می‌شود [۱]:

$$Nu = 0.68 + \frac{0.67 \left[ Gr \cdot Pr \right]^{1/4}}{\left[ 1 + \left( \frac{0.492}{Pr} \right)^{\frac{9}{16}} \right]^{4/9}} \quad (24)$$

$$h_c = \frac{kNu}{D_H} \quad (25)$$

### ضرایب انتقال حرارت تشعشعی

ضریب انتقال حرارت تشعشعی میان آسمان و سرپوش شیشه‌ای برای حالت با سرپوش و سطح رویی پانل فتوولتایی برای حالت بدون سرپوش از رابطه زیر محاسبه می‌شود [۲]:

$$h_{r,g-a} = \sigma \varepsilon_{pv} \frac{(T_g^4 - T_s^4)}{T_g - T_a} \quad (26)$$

$$T_s = 0.0552 T_a^{1.5} \quad (27)$$

برای حالت بدون سرپوش شیشه‌ای باید در رابطه (۲۶) به جای  $T_g$ ،  $T_g$  قرار داد. برای محاسبه ضریب انتقال حرارت تشعشعی میان سطوح ۱ و ۲، رابطه زیر مورد استفاده قرار می‌گیرد [۲]:

$$h_{r,1-2} = \sigma(T_1 + T_2)(T_1^2 + T_2^2) \left( \frac{1}{\varepsilon_1} + \frac{1}{\varepsilon_2} - 1 \right)^{-1} \quad (28)$$

### ضرایب اتلاف حرارتی

ضریب اتلاف حرارت سطح پایینی بدنه به محیط اطراف از رابطه زیر محاسبه می‌شود [۲]:

$$U_b = \frac{k_{ins}}{\delta_{ins}} \quad (29)$$

در رابطه فوق،  $k_{ins}$  و  $\beta_{ins}$  به ترتیب نشان دهنده رسانایی حرارتی و ضخامت عایق است.

ضریب اتلاف حرارت پانل فتوولتایی به محیط اطراف با استفاده از رابطه زیر محاسبه می‌شود [۲]:

$$U_T = \left[ \frac{N}{(C/T_p)[(T_p - T_a)/(N+f)]^e} + \frac{1}{h_w} \right]^{-1} + \left[ \frac{(\varepsilon_p + 0.00591 N h_w)^{-1} + [(2N+f-1+0.133\varepsilon_p)/\varepsilon_g] - N}{\sigma(T_p + T_a)(T_p^2 + T_a^2)} \right]^{-1} \quad (30)$$

در رابطه فوق، پارامترهای  $c$ ،  $e$  و  $f$  با استفاده از روابط زیر محاسبه می‌شود:

$$c = 520(1 - 0.000051\beta^2) \quad \text{for } 0^\circ < \beta < 70^\circ \quad \beta = 70^\circ \quad \text{if } 70^\circ < \beta < 90^\circ \quad (31)$$

$$e = 0.43(1 - \frac{100}{T_p}) \quad (32)$$

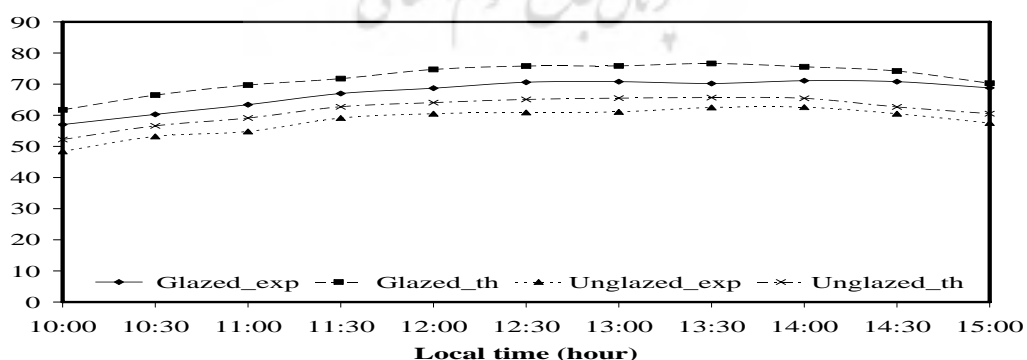
$$f = (1 + 0.089h_w - 0.1166h_w\varepsilon_p)(1 + 0.07866N) \quad (33)$$

علاوه بر این در رابطه فوق  $N$  نشان دهنده تعداد سرپوش‌های شیشه‌ای است که در بالای پانل فتوولتایی قرار داده می‌شود.

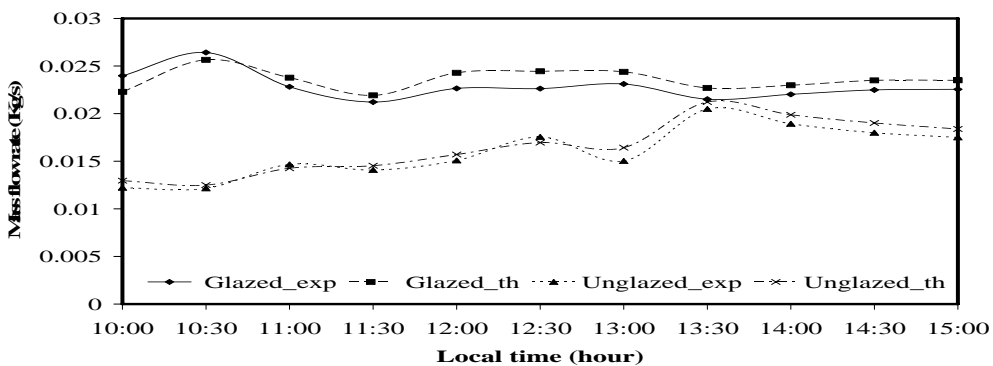
### نتایج مدل‌سازی

برای اینکه بتوان نتایج مدل‌سازی را با نتایج آزمایشگاهی مقایسه کرد از شدت تابش، دمای محیط و سرعت باد اندازه‌گیری شده در آزمایشگاه استفاده شده است. شکل‌های ارائه شده در این بخش به خوبی نشان می‌دهند که نتایج حاصل از شبیه‌سازی برای حالت‌های با سرپوش شیشه‌ای و بدون آن انطباق خوبی با نتایج آزمایشگاهی دارد.

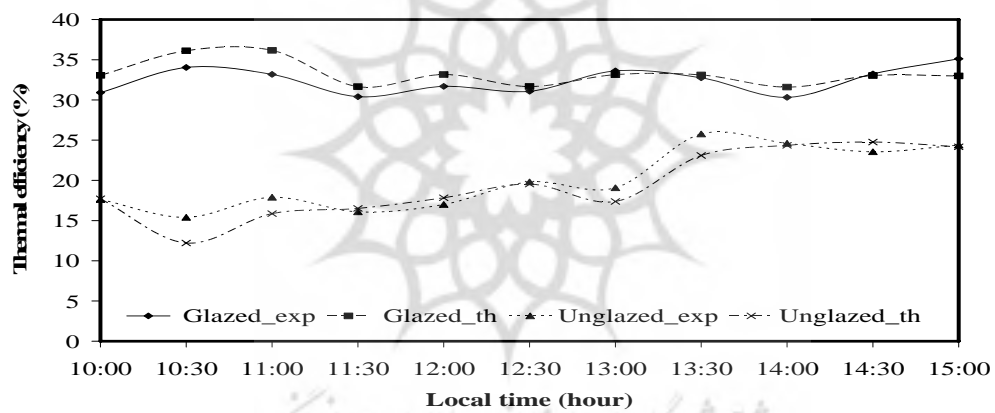
قرار دادن سرپوش شیشه‌ای منجر به قطع تماس پانل فتوولتایی با محیط اطراف و در نتیجه افزایش دمای پانل می‌شود. در اثر افزایش دمای پانل، به علت بیشتر شدن انتقال حرارت جابجایی، دمای هوای خروجی از کانال‌ها و در نتیجه دبی جرمی هوا افزایش می‌یابد. با توجه به رابطه ارائه شده برای محاسبه راندمان حرارتی، می‌توان نتیجه گرفت راندمان حرارتی حالت با سرپوش شیشه‌ای بیشتر از حالت بدون سرپوش است. علاوه بر این، همانطور که در مقدمه اشاره شد افزایش دمای پانل فتوولتایی منجر به کاهش راندمان الکتریکی آن می‌شود. قرار دادن سرپوش شیشه‌ای علاوه بر افزایش دمای پانل فتوولتایی، به واسطه انعکاس بخشی از تابش ورودی موجب کاهش بیشتر راندمان الکتریکی می‌شود. بنابراین تنها در کاربردهایی که راندمان حرارتی اولویت بیشتری در مقایسه با راندمان الکتریکی دارد، قرار دادن سرپوش شیشه‌ای مناسب است. بیشتر بودن دمای پانل فتوولتایی، دبی جرمی و راندمان حرارتی سیستم فتوولتایی/حرارتی مورد بررسی برای حالت با سرپوش شیشه‌ای در مقایسه با حالت بدون سرپوش را می‌توان به ترتیب در شکل‌های (۴)، (۵) و (۶) مشاهده کرد. در شکل (۷) نیز مشاهده می‌شود که راندمان الکتریکی حالت بدون سرپوش بیشتر از حالت با سرپوش شیشه‌ای است. همچنین در شکل (۸) مشاهده می‌شود که راندمان مجموع سیستم‌های فتوولتایی/حرارتی برای حالت با سرپوش شیشه‌ای بسیار بیشتر از حالت بدون سرپوش شیشه‌ای است. بنابراین، می‌توان نتیجه گرفت که کاهش راندمان الکتریکی در اثر قرار دادن سرپوش شیشه‌ای در مقایسه با افزایش راندمان حرارتی ناچیز است.



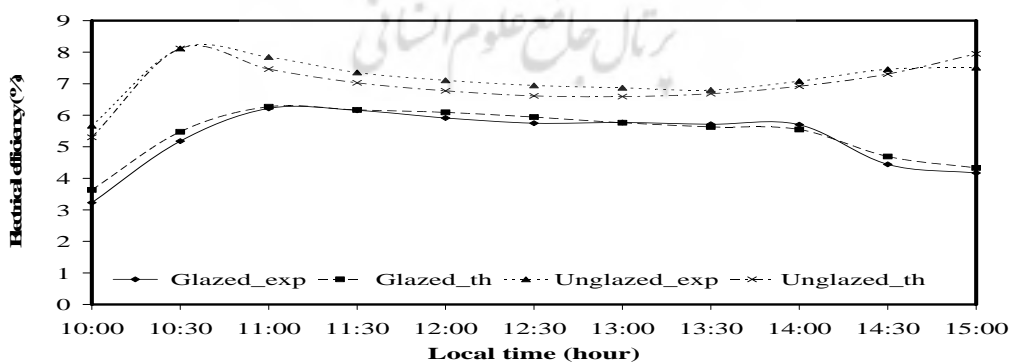
شکل ۴: دمای پانل فتوولتاییک برای زمان‌های مختلف روز



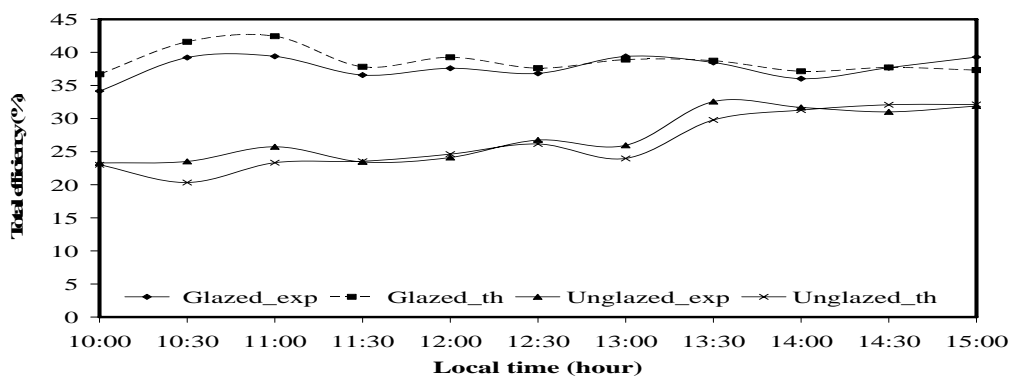
شکل ۵: دبی جرمی هوا برای زمان های مختلف روز



شکل ۶: راندمان حرارتی برای زمان های مختلف روز



شکل ۷: راندمان الکتریکی برای زمان های مختلف روز



شکل ۸: راندمان مجموع برای زمان‌های مختلف روز

### نتیجه‌گیری

نتایج ارائه شده نشان می‌دهد که شیشه‌سازی سیستم‌های فتوولتایی/حرارتی و نتایج آزمایش هم‌خوانی بسیار خوبی دارد. به علاوه قرار دادن سرپوش شیشه‌ای منجر به افزایش دبی جرمی هوا و راندمان حرارتی و کاهش راندمان الکتریکی این سیستم‌ها می‌شود. بنابراین، تنها در کاربردهایی که راندمان حرارتی دارای اولویت بیشتری در مقایسه با راندمان الکتریکی است قرار دادن سرپوش شیشه‌ای مناسب است. محاسبه نشان می‌دهد راندمان مجموع (الکتریکی+حرارتی) تئوری و آزمایشگاهی سیستم‌های فتوولتاییک/حرارتی هوایی برای هر دو حالت با شیشه و بدون شیشه بسیار بیشتر از راندمان ۵ الی ۲۰ درصدی سیستم‌های فتوولتایی است.

### فهرست علائم

A	مساحت مقطع کanal, $m^2$
$D_H$	قطر هیدرولیکی, $m$
$f$	ضریب اصطکاک
$Gr$	عدد گراش
$h_c$	ضریب انتقال حرارت جابجا، $WK^{-1}m^{-2}$
$h_r$	ضریب انتقال حرارت تشعشعی، $WK^{-1}m^{-2}$
$I_r$	شدت تابش ورودی، $Wm^{-2}$
$k$	رسانایی حرارتی، $Wm^{-1}K^{-1}$
$L$	طول سیستم، $m$
$\dot{m}$	دبی جرمی، $Kg/s$
$Nu$	عدد ناسلت
$p$	فشار، $Pa$
$Pr$	عدد پرانتل
$T$	دما مطلق، $K$

$U$	ضریب اتلاف حرارتی، $WK^{-1}m^{-2}$
$w$	پهنهای کanal
$\alpha$	علائم یونانی
$\beta_{ref}$	ضریب جذب
$\delta$	ضریب دمایی سلول‌های فتوولتای
$\eta_{ref}$	راندمان الکتریکی پانل فتوولتای در دمای مرجع
$\eta_{el}$	راندمان الکتریکی پانل فتوولتای در دمای پانل
$\eta_{th}$	راندمان حرارتی سیستم فتوولتای/حرارتی
$\sigma$	ثابت اشتفان-بولتسمن، $5.67 \times 10^{-8} Wm^{-2} K^{-4}$
$\tau$	ضریب عبور
$b$	جداره عایق
$f_1$	سیال کanal بالا
$f_2$	سیال کanal پایین
$g$	شیشه
$p$	کلکتور حرارتی
$p_v$	پانل فتوولتایک

**منابع**

- [1] Bazilian, M., Prasad, D., 2002. "Modelling of a Photovoltaic Heat Recovery System and its Role in a Design Decision Support Tool for Building Professionals." Renewable Energy 27, 57-68.
- [2] Duffie, J.A., Beckman, W.A., 1991. "Solar Engineering of Thermal Processes" John Wiley & Sons, Inc., New York.
- [3] FPrakash, J., 1994. "Transient Snalysis of a Photovoltaic-Thermal Solar Collector for Co-generation of Electricity and Hot Air/Water." Energy Conversion and Managment 35, 967–972.
- [4] Hegazy, A., 2000. "Comparative Study of the Performance of Four Photovoltaic/Thermal Solar Air Collectors." Energy Conversion & Management 41, 861-881.
- [5] Joshi, A., Tiwari, A., 2007. "Energy and Exergy Efficiencies of a Hybrid Photovoltaic-Thermal Air Collectors." Renewable Energy 32, 2223–2241.
- [6] Kern, E.C., Russell, M.C., 1978. "Combined Photovoltaic and Thermal Hybrid Collector Systems." In: Proceedings of the 13th IEEE PV Specialist Conference, Washington, DC. 5–8 June 1978. p. 1153–7.
- [7] Onui, J.K., Tripanagnostopoulos, Y., 2006. "Improved PV/T Solar Collectors with Heat Extraction by Forced or Natural air Circulation," Solar Energy 81, 498-511.
- [8] Sopian, K., Yigit, K.S., Liu, H.T., Kakac, S., Veziroglu, T.N., 1996. "Performance Analysis of Photovoltaic Thermal Air Heaters." Energy Conversion and Management 37, 1657–1670.